



## Déclaration des performances

Conformément à l'annexe III du Règlement (UE) n° 305/2011

n°EDIA-0020

### RESINE POLYESTER

|   |   |
|---|---|
| 1. Code d'identification unique du type de produit:                             | Résine Polyester EDIA   |
| 2. Usage(s) prévu(s):   | <p>Type général : Ancres collées</p> <p>A utiliser dans : Capsules chimiques avec tiges en acier zingué ou acier inox, de diamètres M8 à M30 pour fixation dans du béton non fissuré</p> <p>Option / catégorie : ETAG 001</p> <p>Charge : statique ou quasi-statique</p> <p>Matériaux : Les chevilles d'ancrage chimiques (type "à injection") composées du mortier d'injection : RAWL R-KEM II / RAWL R-KEM II-S / RAWL R-KEM II-W i RAWL RM50 / RAWL RM50-S / RAWL RM50-W, fourni dans un récipient muni d'une tuyère d'éjection, permettant de mélanger les composants du mortier et appliqué à l'aide d'un pistolet doseur et d'une tige filetée (dimensions de M8 à M30). Les tiges filetées sont en acier au carbone, zingué par galvanisation, en acier inoxydable A4-70 ou A4-80 : 1.4401, 1.4404, 1.4571 ou en acier inoxydable d'une résistance à la corrosion élevée, classes de caractéristiques mécaniques (propriétés) 70 : 1.4529, 1.4565, 1.4547 et fournies avec un écrou hexagonal à rondelle</p> |
| 3. Fabricant:   | <p>CHAUSSON MATERIAUX</p> <p>Centre commercial Hexagone</p> <p>60 rue de Fenouillet</p> <p>31140 SAINT ALBAN</p>  |
| 4. Mandataire:  | Non applicable  |
| 5. Système(s) d'évaluation et de vérification de la constance des performances: | Système 1   |
| 6 a). Norme harmonisée:   | Non applicable  |
| 6 b). Document d'évaluation européen:   | <p>ETAG 001</p> <p>Chevilles d'ancrage métal pour béton.</p>  |
| Evaluation technique européenne:  | <p>Partie 1 chevilles d'ancrage - questions générales</p> <p>Partie 5 chevilles d'ancrage chimiques</p> <p>Catégories d'utilisation: 1, 2</p>   |
| Organisme d'évaluation technique:   | ETA-12/0394 édition du 2017-09-29   |
| Organisme(s) notifié(s):  | <p>Instytut Techniki Budowlanej</p> <p>Instytut Techniki Budowlanej en s'appuyant sur les éléments suivants:</p> <ul style="list-style-type: none"> <li>• une évaluation des performances du produit de construction fondée sur des essais (y compris l'échantillonnage), des calculs, des valeurs issues de tableaux ou sur la documentation descriptive du produit</li> <li>• une inspection initiale de l'établissement de fabrication et du contrôle de la production en usine <ul style="list-style-type: none"> <li>• une surveillance, une évaluation et une appréciation continue du contrôle de la production en usine a délivré le certificat 1488-CPR-0654/W</li> </ul> </li> </ul>  |

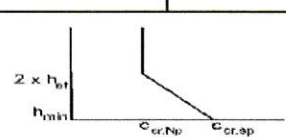
#### 7. Performance(s) déclarée(s):

| Spécification Technique | Les exigences fondamentales selon le Règlement concernant les produits de construction (CPR) |                                   | Observations:  |
|-------------------------|--|-----------------------------------|--|
| ETA-12/0394             | [1]  | Résistance mécanique et stabilité | Propriétés déclarées sur le site 2                   |
|                         | [4]  | Sécurité d'utilisation            | Ceux parmi les critères qui sont importants pour [1] |

#### 8. Documentation technique appropriée et/ou documentation technique spécifique:

Non applicable

## Valeurs caractéristiques de la charge de traction de la tige filetée dans le béton non fissuré

| Valeurs caractéristiques de la charge de traction de la tige filetée dans le béton non fissuré |   |                      |   |                   |                   |                   |                   |                   |                   |  |
|--|---|----------------------|---|-------------------|-------------------|-------------------|-------------------|-------------------|-------------------|--|
| Dimension  |   |                      | M8  | M10               | M12               | M16               | M20               | M24               | M30               |  |
| <b>Rupture de l'acier</b>  |   |                      |   |                   |                   |                   |                   |                   |                   |  |
| Rupture de l'acier, tige filetée en acier de classe de propriétés mécaniques 5.8               |   |                      |   |                   |                   |                   |                   |                   |                   |  |
| Résistance caractéristique   | $N_{Rk,s}$  | [kN]                 | 18  | 29                | 42                | 78                | 122               | 176               | 280               |  |
| Coefficient partiel de sécurité  | $\gamma_{Ms}^{1)}$  | [-]                  | 1,50  |                   |                   |                   |                   |                   |                   |  |
| Rupture de l'acier, tige filetée en acier de classe de propriétés mécaniques 8.8               |   |                      |   |                   |                   |                   |                   |                   |                   |  |
| Résistance caractéristique   | $N_{Rk,s}$  | [kN]                 | 29  | 46                | 67                | 126               | 196               | 282               | 449               |  |
| Coefficient partiel de sécurité  | $\gamma_{Ms}^{1)}$  | [-]                  | 1,50  |                   |                   |                   |                   |                   |                   |  |
| Rupture de l'acier, tige filetée en acier de classe de propriétés mécaniques 10.9              |   |                      |   |                   |                   |                   |                   |                   |                   |  |
| Résistance caractéristique   | $N_{Rk,s}$  | [kN]                 | 37  | 58                | 84                | 157               | 245               | 353               | 561               |  |
| Coefficient partiel de sécurité  | $\gamma_{Ms}^{1)}$  | [-]                  | 1,40  |                   |                   |                   |                   |                   |                   |  |
| Rupture de l'acier, tige filetée en acier de classe de propriétés mécaniques 12.9              |   |                      |   |                   |                   |                   |                   |                   |                   |  |
| Résistance caractéristique   | $N_{Rk,s}$  | [kN]                 | 44  | 70                | 101               | 188               | 294               | 424               | 673               |  |
| Coefficient partiel de sécurité  | $\gamma_{Ms}^{1)}$  | [-]                  | 1,40  |                   |                   |                   |                   |                   |                   |  |
| Rupture de l'acier, tige filetée en acier inoxydable A4-70                                     |   |                      |   |                   |                   |                   |                   |                   |                   |  |
| Résistance caractéristique   | $N_{Rk,s}$  | [kN]                 | 26  | 41                | 59                | 110               | 171               | 247               | 393               |  |
| Coefficient partiel de sécurité  | $\gamma_{Ms}^{1)}$  | [-]                  | 1,87  |                   |                   |                   |                   |                   |                   |  |
| Rupture de l'acier, tige filetée en acier inoxydable A4-80                                     |   |                      |   |                   |                   |                   |                   |                   |                   |  |
| Résistance caractéristique   | $N_{Rk,s}$  | [kN]                 | 29  | 46                | 67                | 126               | 196               | 282               | 449               |  |
| Coefficient partiel de sécurité  | $\gamma_{Ms}^{1)}$  | [-]                  | 1,60  |                   |                   |                   |                   |                   |                   |  |
| Rupture de l'acier, tige filetée en acier de résistance augmentée à la corrosion de classe 70  |   |                      |   |                   |                   |                   |                   |                   |                   |  |
| Résistance caractéristique   | $N_{Rk,s}$  | [kN]                 | 26  | 41                | 59                | 110               | 171               | 247               | 393               |  |
| Coefficient partiel de sécurité  | $\gamma_{Ms}^{1)}$  | [-]                  | 1,87  |                   |                   |                   |                   |                   |                   |  |
| <b>Échec combiné de l'arrachement et du cône de béton</b>                                      |   |                      |   |                   |                   |                   |                   |                   |                   |  |
| Résistance caractéristique dans le béton non fissuré de classe C20/25                          |   |                      |   |                   |                   |                   |                   |                   |                   |  |
| Plage des températures I: 40°C/24°C  | $\tau_{Rk,ucr}$   | [N/mm <sup>2</sup> ] | 9,5   | 9,5               | 9,0               | 8,0               | 8,0               | 6,5               | 5,5               |  |
| Plage des températures II: 80°C/50°C   | $\tau_{Rk,ucr}$   | [N/mm <sup>2</sup> ] | 8,0   | 8,0               | 7,5               | 7,0               | 6,5               | 5,0               | 4,5               |  |
| Coefficient d'accroissement avec $\tau_{Rk,ucr}$ dans le béton non fissuré                     | $\psi_c$  | C30/37               | 1,04  |                   |                   |                   | 1,0               |                   |                   |  |
|  |   | C40/50               | 1,07  |                   |                   |                   | 1,0               |                   |                   |  |
|  |   | C50/60               | 1,09  |                   |                   |                   | 1,0               |                   |                   |  |
| Coefficient partiel de sécurité pour catégorie d'utilisation 1 + 2                             | $\gamma_{Mc} = \gamma_{Mp}$   | [-]                  | 2,1 <sup>3)</sup>   | 1,8 <sup>4)</sup> | 1,8 <sup>4)</sup> | 1,8 <sup>4)</sup> | 1,8 <sup>4)</sup> | 1,8 <sup>4)</sup> | 1,8 <sup>4)</sup> |  |
| <b>Rupture par fendage</b>   |   |                      |   |                   |                   |                   |                   |                   |                   |  |
| Profondeur effective d'ancrage $h_{ef}$  | min   | [mm]                 | 60  | 70                | 80                | 100               | 120               | 140               | 165               |  |
|  | max   | [mm]                 | 100   | 120               | 145               | 190               | 240               | 290               | 360               |  |
| Distance de la cheville à un bord du support   | $C_{cr,N} = C_{cr,Np}$  | [mm]                 | $C_{cr,Np} = \frac{s_{cr,Np}}{2}$   |                   |                   |                   |                   |                   |                   |  |
|  | $C_{cr,sp}$ pour $h_{min}$  | [mm]                 | 2,5 · $h_{ef}$  |                   | 2,5 · $h_{ef}$    |                   | 1,5 · $h_{ef}$    |                   |                   |  |
|  | $C_{cr,sp}$ pour $h_{min} < h^{2)} < 2 \cdot h_{ef}$ ( $C_{cr,sp}$ de l'interpolation linéaire) | [mm]                 |              |                   |                   |                   |                   |                   |                   |  |
|  | $C_{cr,sp}$ pour $h^{2)} \geq 2 \cdot h_{ef}$   | [mm]                 | $C_{cr,Np}$   |                   |                   |                   |                   |                   |                   |  |
| Espacement des chevilles   | $S_{cr,N} = S_{cr,Np}$  | [mm]                 | $s_{cr,Np} = 20 \cdot d \cdot \left( \frac{\tau_{Rk,ucr}}{7,5} \right)^{0,5} \leq 3 \cdot h_{ef}$ |                   |                   |                   |                   |                   |                   |  |
|  | $S_{cr,sp}$   | [mm]                 | $2,0 \cdot C_{cr,sp}$   |                   |                   |                   |                   |                   |                   |  |

Note: Méthode de conception selon TR 029

1) en absence des exigences nationales

2) h – épaisseur de l'élément en béton

3)  $\gamma_2 = 1,4$  inclus

4)  $\gamma_2 = 1,2$  inclus





| Valeurs caractéristiques pour les efforts de cisaillement pour tige filetée - rupture d'acier sans bras de levier |               |      |      |     |     |     |     |     |     |
|---|---------------|------|------|-----|-----|-----|-----|-----|-----|
| Dimension   |               |      | M8   | M10 | M12 | M16 | M20 | M24 | M30 |
| Rupture de l'acier, tige filetée en acier de classe de propriétés mécaniques 5.8                                  |               |      |      |     |     |     |     |     |     |
| Résistance caractéristique  | $V_{Rk,s}$    | [kN] | 9    | 14  | 21  | 39  | 61  | 88  | 140 |
| Coefficient partiel de sécurité   | $\gamma_{Ms}$ | [-]  | 1,25 |     |     |     |     |     |     |
| Rupture de l'acier, tige filetée en acier de classe de propriétés mécaniques 8.8                                  |               |      |      |     |     |     |     |     |     |
| Résistance caractéristique  | $V_{Rk,s}$    | [kN] | 15   | 23  | 34  | 63  | 98  | 141 | 224 |
| Coefficient partiel de sécurité   | $\gamma_{Ms}$ | [-]  | 1,25 |     |     |     |     |     |     |
| Rupture de l'acier, tige filetée en acier de classe de propriétés mécaniques 10.9                                 |               |      |      |     |     |     |     |     |     |
| Résistance caractéristique  | $V_{Rk,s}$    | [kN] | 18   | 29  | 42  | 78  | 122 | 176 | 280 |
| Coefficient partiel de sécurité   | $\gamma_{Ms}$ | [-]  | 1,50 |     |     |     |     |     |     |
| Rupture de l'acier, tige filetée en acier de classe de propriétés mécaniques 12.9                                 |               |      |      |     |     |     |     |     |     |
| Résistance caractéristique  | $V_{Rk,s}$    | [kN] | 22   | 35  | 51  | 94  | 147 | 212 | 337 |
| Coefficient partiel de sécurité   | $\gamma_{Ms}$ | [-]  | 1,50 |     |     |     |     |     |     |
| Rupture de l'acier, tige filetée en acier inoxydable A4-70  |               |      |      |     |     |     |     |     |     |
| Résistance caractéristique  | $V_{Rk,s}$    | [kN] | 13   | 20  | 29  | 55  | 86  | 124 | 196 |
| Coefficient partiel de sécurité   | $\gamma_{Ms}$ | [-]  | 1,56 |     |     |     |     |     |     |
| Rupture de l'acier, tige filetée en acier inoxydable A4-80  |               |      |      |     |     |     |     |     |     |
| Résistance caractéristique  | $V_{Rk,s}$    | [kN] | 15   | 23  | 34  | 63  | 98  | 141 | 224 |
| Coefficient partiel de sécurité   | $\gamma_{Ms}$ | [-]  | 1,33 |     |     |     |     |     |     |
| Rupture de l'acier, tige filetée en acier de résistance augmentée à la corrosion de classe 70                     |               |      |      |     |     |     |     |     |     |
| Résistance caractéristique  | $V_{Rk,s}$    | [kN] | 13   | 20  | 29  | 55  | 86  | 124 | 196 |
| Coefficient partiel de sécurité   | $\gamma_{Ms}$ | [-]  | 1,56 |     |     |     |     |     |     |

| Valeurs caractéristiques pour les charges de cisaillement pour tige filetée - rupture d'acier sans bras de levier |               |      |      |     |     |     |     |      |      |
|---|---------------|------|------|-----|-----|-----|-----|------|------|
| Dimension   |               |      | M8   | M10 | M12 | M16 | M20 | M24  | M30  |
| Rupture de l'acier, tige filetée en acier de classe de propriétés mécaniques 5.8                                  |               |      |      |     |     |     |     |      |      |
| Résistance caractéristique  | $M^0_{Rk,s}$  | [Nm] | 19   | 37  | 65  | 166 | 324 | 561  | 1124 |
| Coefficient partiel de sécurité   | $\gamma_{Ms}$ | [-]  | 1,25 |     |     |     |     |      |      |
| Rupture de l'acier, tige filetée en acier de classe de propriétés mécaniques 8.8                                  |               |      |      |     |     |     |     |      |      |
| Résistance caractéristique  | $M^0_{Rk,s}$  | [Nm] | 30   | 60  | 105 | 266 | 519 | 898  | 1799 |
| Coefficient partiel de sécurité   | $\gamma_{Ms}$ | [-]  | 1,25 |     |     |     |     |      |      |
| Rupture de l'acier, tige filetée en acier de classe de propriétés mécaniques 10.9                                 |               |      |      |     |     |     |     |      |      |
| Résistance caractéristique  | $M^0_{Rk,s}$  | [Nm] | 37   | 75  | 131 | 333 | 649 | 1123 | 2249 |
| Coefficient partiel de sécurité   | $\gamma_{Ms}$ | [-]  | 1,50 |     |     |     |     |      |      |
| Rupture de l'acier, tige filetée en acier de classe de propriétés mécaniques 12.9                                 |               |      |      |     |     |     |     |      |      |
| Résistance caractéristique  | $M^0_{Rk,s}$  | [Nm] | 45   | 90  | 157 | 400 | 779 | 1347 | 2699 |
| Coefficient partiel de sécurité   | $\gamma_{Ms}$ | [-]  | 1,50 |     |     |     |     |      |      |
| Rupture de l'acier, tige filetée en acier inoxydable A4-70  |               |      |      |     |     |     |     |      |      |
| Résistance caractéristique  | $M^0_{Rk,s}$  | [Nm] | 26   | 52  | 92  | 233 | 454 | 786  | 1574 |
| Coefficient partiel de sécurité   | $\gamma_{Ms}$ | [-]  | 1,56 |     |     |     |     |      |      |
| Rupture de l'acier, tige filetée en acier inoxydable A4-80  |               |      |      |     |     |     |     |      |      |
| Résistance caractéristique  | $M^0_{Rk,s}$  | [Nm] | 30   | 60  | 105 | 266 | 519 | 898  | 1799 |
| Coefficient partiel de sécurité   | $\gamma_{Ms}$ | [-]  | 1,33 |     |     |     |     |      |      |
| Rupture de l'acier, tige filetée en acier de résistance augmentée à la corrosion de classe 70                     |               |      |      |     |     |     |     |      |      |
| Résistance caractéristique  | $M^0_{Rk,s}$  | [Nm] | 26   | 52  | 92  | 233 | 454 | 786  | 1574 |
| Coefficient partiel de sécurité   | $\gamma_{Ms}$ | [-]  | 1,56 |     |     |     |     |      |      |

| Échec du béton et de la bordure en béton   |               |      |     |     |     |     |     |     |     |
|--|---------------|------|-----|-----|-----|-----|-----|-----|-----|
| Dimension  |               |      | M8  | M10 | M12 | M16 | M20 | M24 | M30 |
| Profondeur d'ancrage efficace $h_{ef}$   | min           | [mm] | 60  | 70  | 80  | 100 | 120 | 140 | 165 |
|  | max           | [mm] | 100 | 120 | 145 | 190 | 240 | 290 | 360 |
| Eviter l'échec   |               |      |     |     |     |     |     |     |     |
| facteur  | K             | [-]  | 2   | 2   | 2   | 2   | 2   | 2   | 2   |
| Coefficient partiel de sécurité  | $\gamma_{Mp}$ | [-]  | 1,5 |     |     |     |     |     |     |
| Défaillance de bord en béton: voir la clause 5.2.3.4 du rapport technique TR 029 |               |      |     |     |     |     |     |     |     |
| Coefficient partiel de sécurité  | $\gamma_{Mc}$ | [-]  | 1,5 |     |     |     |     |     |     |

| Déplacement sous tension et cisaillement                                  |                |      |      |      |      |      |      |      |      |
|---|----------------|------|------|------|------|------|------|------|------|
| Dimension   |                |      | M8   | M10  | M12  | M16  | M20  | M24  | M30  |
| Déplacement caractéristique dans le béton non fissuré C20 / 25 à C50 / 60 |                |      |      |      |      |      |      |      |      |
| Charge de service admissible <sup>11</sup>                                | F              | [kN] | 6,5  | 9,4  | 12,3 | 18,8 | 27,1 | 26,2 | 32,5 |
| Déplacement   | $\delta_{Nd}$  | [mm] | 0,20 | 0,25 | 0,30 | 0,35 | 0,40 | 0,40 | 0,45 |
|   | $\delta_{N,c}$ | [mm] | 0,85 | 0,85 | 0,85 | 0,85 | 0,85 | 0,85 | 0,85 |

Les performances du produit identifié ci-dessus sont conformes aux performances déclarées. Conformément au règlement (UE) no 305/2011, la présente déclaration des performances est établie sous la seule responsabilité du fabricant mentionné ci-dessus.

Signé pour le fabricant et en son nom par :

Pierre-Georges CHAUSSON

à Saint-Auban

Le: 29/04/2021

